





Arařtırma Makalesi / Research Article

SİVAS JİPS KARSTINDA DOLİN YOĐUNLUĐUNUN CBS TABANLI ANALİZİ
GIS Based Analysis of Doline Density in Sivas Gypsum Karst (TURKEY)

Murat POYRAZ^a, Muhammed Zeynel ÖZTÜRK^b, Abdullah SOYKAN^c

^a Kırřehir Ahi Evran Üniversitesi, Fen Edebiyat Fakültesi, Cođrafya Bölümü, Kırřehir
mpoyraz@ahievran.edu.tr  <https://orcid.org/0000-0002-5915-6873>

^b Niđe Ömer Halis Demir Üniversitesi, Fen Edebiyat Fakültesi, Cođrafya Bölümü, Niđe
mzozturk@ohu.edu.tr  <https://orcid.org/0000-0002-9834-7680>

^c Balıkesir Üniversitesi, Fen Edebiyat Fakültesi, Cođrafya Bölümü, Balıkesir
asoykan@balikesir.edu.tr  <https://orcid.org/0000-0003-4093-9541>

Makale Tariđesi

Geliř 17 Ocak 2021
Düzenleme 3 řubat 2021
Kabul 5 řubat 2021

Article History

Received January 17, 2021
Received in revised form February 3, 2021
Accepted February 5, 2021

Anahtar Kelimeler

Jips, Karst, Dolin, CBS, Sivas

Keywords

Gypsum, Karst, Doline, GIS, Sivas

Atıf Bilgisi / Citation Info

Poyraz, M., Öztürk, M.Z., Soykan, A. (2021) Sivas Jips Karstında Dolin Yođunluđunun CBS Tabanlı Analizi / GIS Based Analysis of Doline Density in Sivas Gypsum Karst (Turkey), Jeomorfolojik Arařtırmalar Dergisi / Journal of Geomorphological Researches, 2021 (6): 67-80

doi: 10.46453/jader.863090

ÖZET

Yukarı Kızılırmak Havzası'nda, özellikle Sivas-İmranlı arasındaki jips alanı Türkiye'nin en önemli jips karstı alanını oluřturmaktadır. Bu alandaki dolinler birçok çalışmada ele alınmış olmasına rağmen, çalışmaların hiçbirisi tüm alanı kapsamadığı için Sivas-İmranlı arasındaki dolin yođunluđunun alansal dağılıř özellikleri tam olarak aydınlatılamamıştır. Bu eksiklikten dolayı, bu çalışmada söz konusu alanda gelişmiş dolinlerin alansal dağılıř özellikleri CBS tabanlı yapılan haritalama çalışmaları ile ortaya konulmuřtur. Çalışmada dolin dağılıřlarını belirlemek için 1/25.000 ölçekli topođrafya haritaları ve 1/3.000-1/5.000 ölçekli uydu görüntüleri kullanılmıřtır. Yapılan haritalama çalışmaları sonucunda Sivas-İmranlı arasındaki 1609 km²'lik jips alanı içerisinde topođrafya haritalarında 10.651 dolin, uydu görüntülerinde 42.127 dolin tespit edilmiştir. Kernel yöntemiyle hesaplanan yođunluklara göre topođrafya haritalarında maksimum dolin yođunluđu 127 dolin/km²'ye ulařırken, uydu görüntülerinde yođunluk 237 dolin/km²'ye kadar ulařmaktadır. Topođrafya haritalarına göre jips alanının %47'sinde, uydu görüntülerinde ise %26'sında dolin gelişimi görülmemektedir. Dolin yođunluk sınıfları açısından düşük ve çok düşük yođunluktaki alanlar her iki veride de %46'lık orana sahiptir. Uydu görüntülerinde daha küçük boyutlu dolinlerin haritalanabilmesinden dolayı topođrafya haritalarında sadece %0.7'lik bir alan kaplayan yüksek ve çok yüksek yođunluktaki alanlar, uydu görüntülerinde %15.3'lük bir alan kaplamaktadır. Yođunluk bölgelerinin alansal dağılıřlarına göre; maksimum yođunluklar, jipsi kuzeyde sınırlayan bindirme hattına paralel olarak dođu-batı dođrultusunda uzanan, yüksek plato karakterindeki alan üzerinde görülür. 1255 ve 2335 m arasında dağılıř gösteren dolinlerin %90'dan fazlası 1300 ve 1700 m arasında yer alırlar. Yođunluđu en fazla olduđu yükselti basamağı uydu görüntülerinde 1500 ve 1550 m arasındayken (%19.2), topođrafya haritalarında 1600 ve 1650 m (%19.94) arasında yer alır.

ABSTRACT

The Upper Kızılırmak Basin, especially between Sivas and İmranlı, is the most important gypsum karst area in Turkey. Dolines formed on gypsum between Sivas and İmranlı are investigated in many articles. However, the spatial distribution characteristics of the doline density in the area are not fully known since none of these studies cover the whole area. Due to this deficiency, the distribution characteristic of dolines formed on gypsum between Sivas and İmranlı is investigated by GIS-based mapping in this study. In the study, 1/25.000 scaled topographic maps and 1/3.000-1/5.000 scaled satellite images are used to determine doline distribution. As a result of mapping processes performed in 1609 km², 10.651 dolines, and 42.127 dolines are determined in topographic maps and satellite images, respectively. According to the densities calculated by the Kernel method, the maximum doline density reaches 127 doline/km² in topography maps, while the density reaches 237 doline/km² in satellite images. Besides, doline distributions are not observed in 47% of the topography map and 26% of the satellite image. Low and very low-density areas are cover 46% of gypsum in both maps. High and very high-density areas cover only 0.7% in the topography while cover

15.3% in the satellite images due to the mapping of small dolines in satellite images. The maximum doline densities are observed on the east-west oriented high plateaus extending parallel to the thrust fault in the north part of the gypsum. In the whole gypsum area, while dolines are distributed between 1255 and 2335 meters, more than 90% of dolines are located between 1300 and 1700 meters. The densest elevation ranges are 1500 and 1550 (19.2%) in satellite images, 1600 and 1650 meters (19.94%) in topography maps. The densest elevation range is 1500 and 1550 (19.2%) in satellite images and is 1600 and 1650 meters (19.94%) in topographic maps.

© 2021 Jeomorfoloji Derneđi / Turkish Society for Geomorphology
Tüm hakları saklıdır / All rights reserved.

1. GİRİŐ

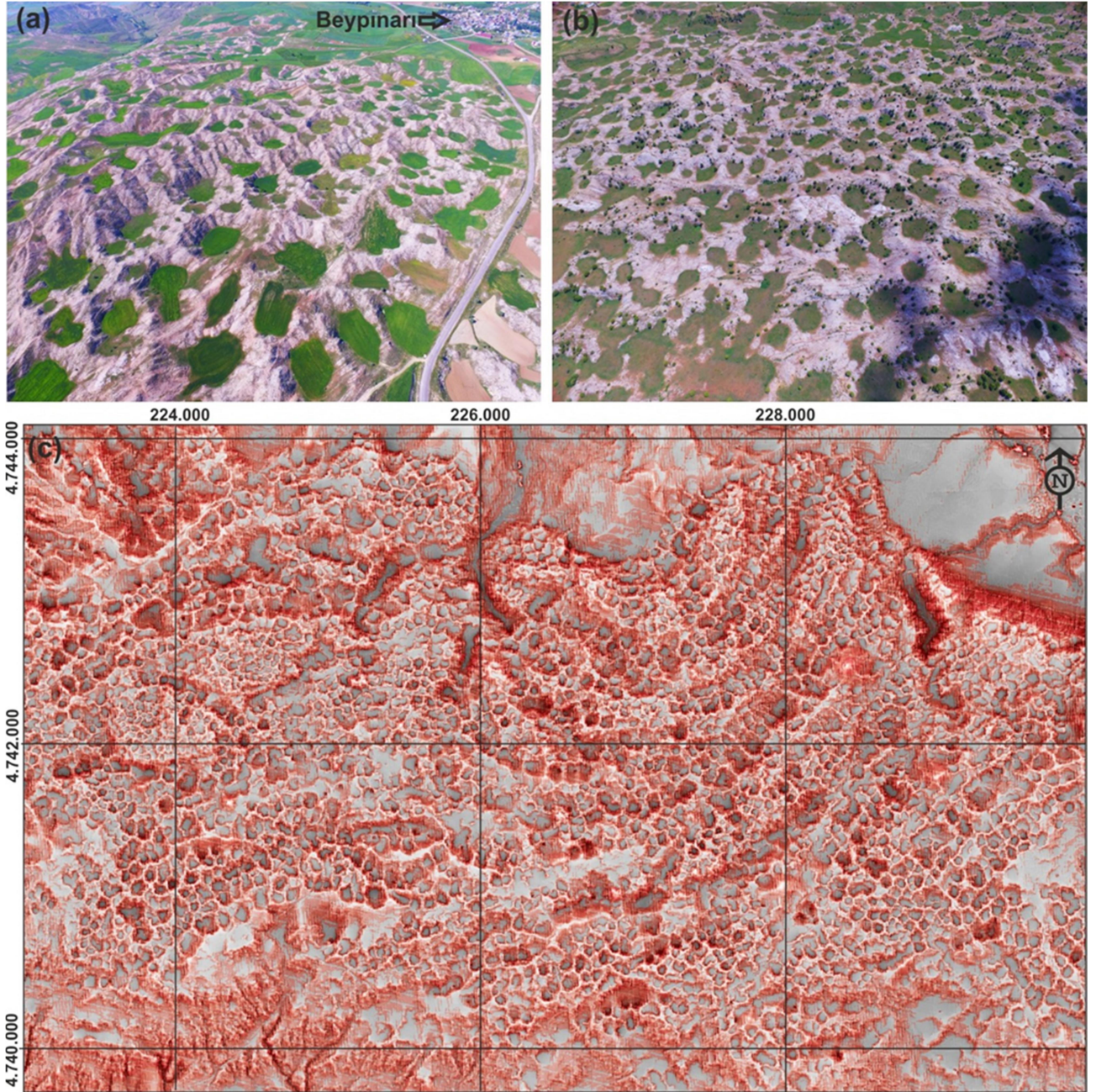
Karstik bölgelerdeki yüzey Őekillerini oluŐturan ve karstlaŐma olarak isimlendirdiđimiz süreç, temel olarak karbonatlı (kireçtaŐı, mermer, dolomit) ve evaporitik kayalar (jips, kaya tuzu) üzerinde çözümlenme denetiminde gerçekteŐen bir olaydır (Erinç, 2001; Williams, 2004). KarstlaŐmaya bađlı olarak karstik alanlar lapyta, düden, dolin, polye gibi yüzey Őekilleriyle kaplıdır ve bu Őekiller herhangi bir alanın jeomorfolojik ve tektonik evrimini anlamak için önemli kayıtlar olarak kabul edilirler (Ekmekçi & Nazik, 2004; Öztürk, 2020; Öztürk vd., 2017a; ŐimŐek vd., 2020). Çapları birkaç metreden 1 km'ye kadar deđiŐen dairesel ya da yarı dairesel Őekiller olan dolinler Dinar ve Toros Dađları gibi orta enlemlerdeki ılıman kuŐakta yer alan kıvrımlı karstik arazilerin karakteristik Őekillerindendir (Ford & Williams, 2007; Gams, 2000; Öztürk vd., 2018a). Dolinler karstik geliŐim sürecinin de en önemli göstergelerinden birisi olduđundan dolayı herhangi bir karstik bölgenin jeomorfolojik ve hidrojeolojik geliŐiminin belirlenebilmesinde büyük öneme sahiptir (Dođan & Özel, 2005; Nazik, 1986; Öztürk vd., 2018b; Öztürk vd., 2015; ŐimŐek vd., 2019). Dolinler temel olarak çökme ve çözümlenme dolinleri olarak ele alınmakla birlikte dolin sınıflandırmasında dolinin geometrik Őekli, boyutu, oluŐum biçimi, hidrojeolojik özellikleri, fonksiyonu, litoloji ve tektoniđi gibi birçok kriter göz önünde bulundurulabilir (Car, 2001; Dođan, 2004; Sauro, 2003). 19. yy'ın sonlarında tanımlanmış (Cvijic, 1893) en yaygın dolin türü olan çözümlenme dolinleri; karstik kayaların yüzeyinin kimyasal yolla çözümlenmesi sonucunda meydana gelen, derinlik ve genişlikleri birkaç metreden onlarca metreye ulaşabilen, çay tabađı, fincan ya da huni Őeklinde dairesel veya eliptik olabilen kapalı dođal çukurluklardır (Ford &

Williams, 2007). Ülkemizde de oldukça yoğun bir dağılıŐa sahip olan bu tür dolinler, Toros karst bölgesi ve Sivas jips karstı bölgesinin karakteristik yüzey Őekillerindendir (Dođan & Özel, 2005; Keskin & Yılmaz, 2016; Öztürk vd., 2018b; Őener & Öztürk, 2019). Çözümlenme dolinlerinin yaygın olduđu alanlar “*dolin karstı*” (Dođan, 2004), dolinlerin siđ çukurlar Őeklinde geliŐtiđi ve birbirlerinden alçak sırtlarla ayrıldıđı dolin karstına ise, “*poligonal karst*” ya da “*delikli karst*” (*cockpit karst*) adı verilir (Erinç, 2001; Telbisz vd., 2009; Waltham, 2002). Poligonal karsta ait örnekleri Türkiye'de Toroslar'daki yüksek karstik platolar ve Sivas jipsleri üzerinde görmek mümkündür (Dođan & Özel, 2005; Öztürk vd., 2018b) (Őekil 1). Çökme dolinleri ise, karstik yeraltı boşlukları ya da mağara tavanlarının üzerindeki yükü taşıyamayacak duruma gelmesi sonucunda; tavanın aniden çökmesiyle oluŐan, dairevi görünüŐlü ya da huni Őekli, dik yamaçlara sahip, bazen içlerinde göller bulunan derin dolinlerdir (Dođan, 2004). Sivas jips karstında çökme dolinleri oldukça yaygın olarak görülür ve bu çökme dolinleri özellikle fay ve çatlak sistemlerinin yoğun olduđu alanlarda, bu süreksizlikler boyunca meydana gelen hızlı çözümlenmeye bađlı olarak oluŐur (Dođan & Özel, 2005; Dođan & YeŐilyurt, 2019; Kaçarođlu vd., 1997; Karacan & Yılmaz, 1997).

Sivas jips karstına ait dolinler, özellikle Sivas-İmranlı arasındakiler, 1967 yılından itibaren birçok araŐtırmacı tarafından ele alınmıştır (Alagöz, 1967; Dođan & YeŐilyurt, 2004, 2019; Günay, 2002; Kaçarođlu vd., 1997; Karacan & Yılmaz, 1997; Keskin, 2011; Keskin & Yılmaz, 2016; Waltham, 2002; Yılmaz, 2007; Yılmaz vd., 2011). Alagöz (1967) Sivas çevresindeki jips karstı morfolojisinin özelliklerini ana hatları ile açıklamıştır. Kaçarođlu vd., (1997), Karacan ve Yılmaz, (1997), Yılmaz vd., (2011) alandaki çökme dolinlerinin geliŐimi üzerine

yoęunlařmıřlardır. Doęan ve Yeřilyurt (2004) İmranlı'nın gney kesimindeki jips alanındaki karstik Őekillere ait ozellikleri aıklamıř, alanda ok fazla dolin bulunduęu ve dolin yoęunluęunun 100 dolin/km²'ye kadar ıktıęını belirtmiřtir. Benzer yoęunluk deęerleri Waltham (2002) tarafından da verilmiřtir. Doęan ve Ozel (2005) Hafik'in doęu kesiminde 1500 ve 1600 m arasında oznme dolinlerin

yaygın olduęunu ve bu alanlarda yoęunluęun 100 dolin/km²'ye kadar ıktıęını belirtmiřtir. Keskin ve Yılmaz (2016), Hafik'in gneybatısındaki 92 km²'lik bir alan ierisinde inceledięi 940 doline gre dolin yoęunluęunun 166 dolin/km²'ye kadar ulařtıęını hesaplamıřtır. Doęan ve Yeřilyurt (2019) ise maksimum dolin yoęunluęunun 250-300 dolin/km²'ye kadar ıktıęını belirtmiřtir.



Őekil 1: alıřma alanındaki jipsler zerinde geliřmiř poligonal karsta ait grntler: (a) Sivas'ın kuzeydoęusundaki Beypınarı Ky ve (b) İmranlı ilesinin gneyine ait İHA grntleri ile (c) Zara ilesinin batısına ait kırmızı rlyef haritası

Figure 1: Images belong to polygonal karst in the study area: UAV images from (a) Beypınar Village in the northeast of Sivas and (b) the southern part of İmranlı district, (c) red relief image map of the western part of Zara District.

Yukarıda kısaca açıklanan alıřmalarda da grldđ gibi Sivas-İmranlı arasındaki jipsler zerindeki dolin yođunlukları hakkında farklı veriler bulunmaktadır. Bu farklılıklar, nceki alıřmalarda jips alanının tamamının incelenmemiř olması, dolin sayımlarının yalnızca topođrafya haritalarından yapılması, alıřmaların farklı byklk ve yođunluktaki jips alanlarını kapsamasından kaynaklanmaktadır. Bu nedenlerle bu alıřmada Anadolu'daki en nemli jips alanı olan Sivas-İmranlı arasındaki tm jipsler zerinde geliřmiř olan dolinlerin alansal dađılıř zellikleri topođrafya haritaları ve uydu grntleri zerinden gerekleřtirilen analizlere gre karřılařtırılmalı olarak incelenmiřtir (řekil 1, 2). Elde edilen dolin yođunluklarının dađılıřını denetleyen etkenler arazi alıřması, haritalama alıřmaları ve literatr verilerine gre kısaca açıklanmıřtır.

2. ALIřMA ALANI

2.1. Jeolojik zellikler

alıřma alanı hidrolojik aıdan Yukarı Kızılırmak Havzası karst alanı (Nazik vd., 2019), jeolojik geliřim zelliđi aısından Sivas Tersiyer Havzası iinde kalan, Sivas-İmranlı arasındaki 1609 km²'lik jips alanını kapsamaktadır (řekil 2).

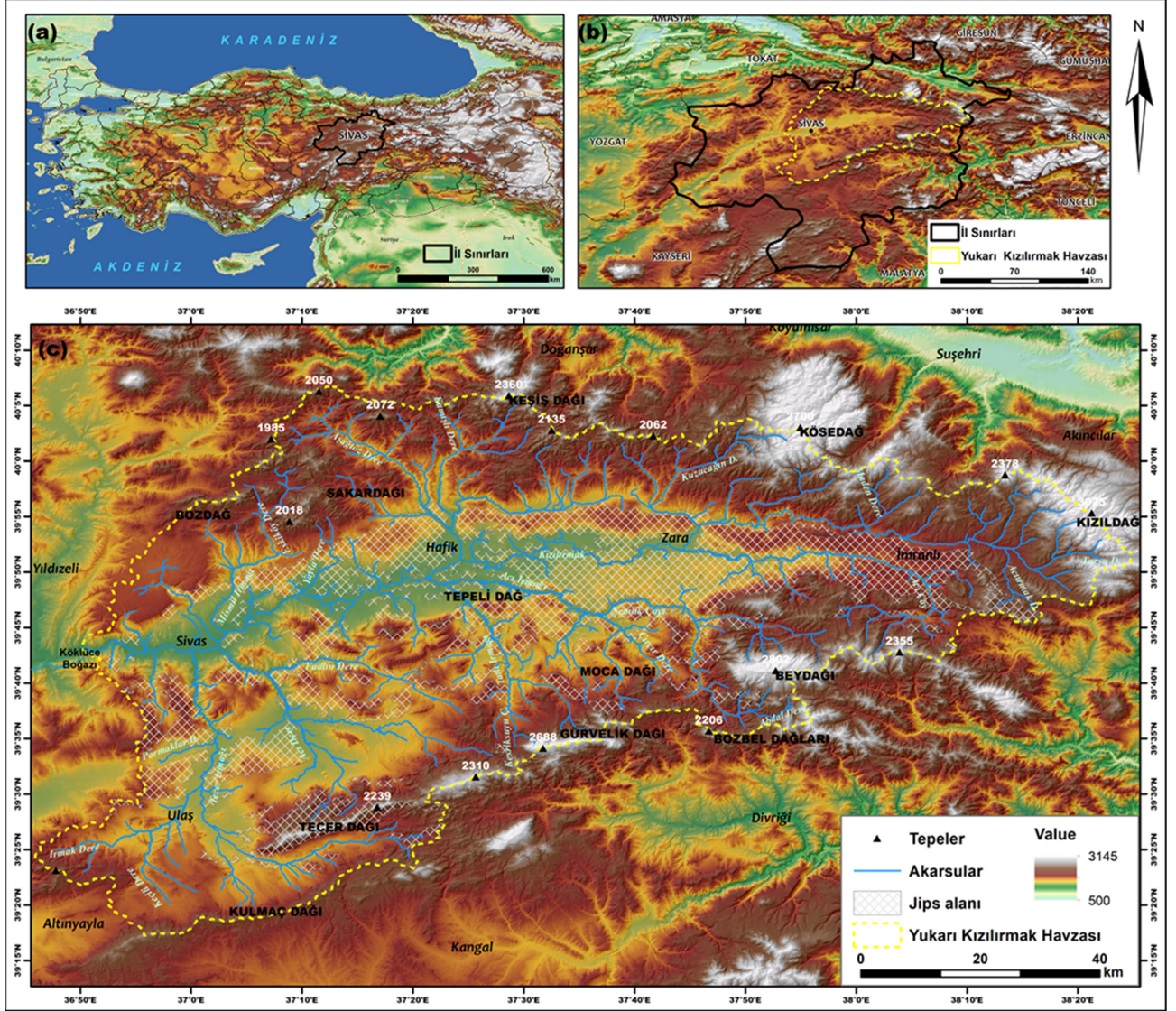
Sivas Tersiyer Havzası'nın stratigrafik ve tektonik zelliklerini ele alan alıřmalar 1938 yılından (Blumenthal, 1938) itibaren yapılmıřtır. Yaklařık 2140 km² alan kaplayan Sivas Tersiyer Havzası 280 km uzunluđa ve 55 km geniřliđe sahiptir (Dođan & Yeřilyurt, 2019). Kuzeyden yaklařık 300 km uzunluđa sahip olan Sivas Bindirme Kuřađı ile sınırlandırılan havza (Darin vd., 2018) Tetis Okyanusu kuzey kolunun Ge Kretase-Erken Paleosen dnemindeki kapanmasına bađlı olarak Toros, Pontid ve Kırřehir tektonik birlikleri arasında oluřmuřtur (Callot vd., 2014).

Sivas Tersiyer Havzası ierisinde birden fazla alt havza bulunması (Ribes vd., 2017) ve havzanın karmařık bindirme tektoniđi zelliđine sahip olmasından dolayı havzayı tek bir stratigrafik dikme kesit ile temsil etmek zordur (Darin vd., 2018; Temiz, 1996; Yılmaz & Yılmaz, 2006). Her alt havza kendine zg bir stratigrafik dizilime sahip olmakla birlikte

havzalar ierisinde genelde karasal ve siđ denizel fasiyeler birbirini izlemektedir (Callot vd., 2014; Yılmaz & Yılmaz, 2006). Sivas Tersiyer Havzası'nın temel stratigrafik zelliklerini kısaca aıklamak gerekirse; havzanın temelini, batı-kuzeybatı kenarında Kırřehir Masifi'nin dođu ucunu oluřturan Paleozoyik'e ait metamorfikler, gney kenarında ise Toros kuřađının dođu ucunu oluřturan st Triyas-st Kretase'ye ait karbonatlılar oluřturur (Temiz, 1994). Eosen birimlerini zerleyen Oligosen kelleri, tabanda jips, silttařı ve stte kumtařından oluřur. Jipsli serilerin bulunduđu, daha nceki alıřmalarda Miyosen olarak (Gnay, 2002) belirtilen ancak son alıřmalara gre Oligosen'e ait olduđu anlařılan kayalar (Callot vd., 2014), Kurtman (1973) tarafından iki farklı formasyona (Karacaren & Hafik formasyonları) ayrılmıřtır. Karacaren Formasyonu siđ denizel ortamda kelen kiretařı, kumlu kiretařı, kumtařı ve řeyl ardalanasından meydana gelirken, Hafik Formasyonu lagner ortamda birikmiř jips, kumtařı, silttařı ve konglomeradan meydana gelmiřtir. alıřma alanının sınırını oluřturan Hafik Formasyonu'nun egemen kaya tr beyaz, bej ve gri, yer yer ince-orta-kalın tabakalı, ođunlukla masif, sıka kıvrımlanmıř ve makaslama zonları ieren ve taban kesimlerinde yapraklanma gsteren jipslerden oluřur (Temiz, 1994). Hafik Formasyonu'na ait jipsli birimlerin kalınlıđı olduka fazla deđiřkenlik gstermekle birlikte bazı yerlerde 750 metreye kadar ıkmaktadır (Aktimur vd., 1990). Kalınlıđın farklılık gstermesinin ana nedenlerinden biri formasyonun tektonik zellikleridir. Kořun ve iner (2002) Sivas Havzası'nın kuzeyinde geliřen sintektonik olaylar sonucu, Hafik yesi'ne ait masif jipslerin, havza ierisine dođru hareket edip ekaylanmıř ve normal kalınlıklarının birkaç katına ulařmıř olduklarını belirtmektedirler. alıřma alanı kuzey kesimlerinde tektonik nedenlerle bahsedilen kayma hareketleri grlrken, gney kesimlerde tuz tektoniđi sonucu diyapirik jips ykselimleri geliřmiřtir (Callot vd., 2014; Dođan & Yeřilyurt, 2019) Bu diyapirik ykselimler sonucunda Hafik Jipsleri yine normal konumlarından farklı stratigrafik dzeylere tařınmıřlardır. Bu nedenle,

çoğunluğunu masif jipslerin oluşturduđu bu üye, havzanın deđişik alanlarında kendisinden daha genç Miyosen birimleri üzerinde tektonik dokanakla gelir (Koşun & Çiner, 2002). Pliyosen'e ait konglomera ve kumtaşı

tabakaları, Oligosen'e ait jipsli seri üzerinde uyumsuz olarak yer almıştır. Kızılırmak ve kollarına ait vadiler içerisinde ise Kuvaterner'e ait alüvyonlar yüzeylenmektedir.



Şekil 2: (a, b) Yukarı Kızılırmak havzasının lokasyonu, (c) yükselti basamakları haritası (Çalışma alanı 1c'deki tüm jips alanlarını kapsamaktadır).

Figure 2: (a, b) Location and (c) digital elevation model of the study area (Study area comprises all gypsum area in Fig. 1c).

2.2. Fiziki Coğrafya Özellikleri

Çalışma alanındaki en alçak nokta, alanın batı sınırını oluşturan 1245 metre yüksekliğindeki Köklüce Boğazi'dir (Şekil 2c). Havzanın üst kesimlerinde maksimum yükseklik 3025 metreye kadar çıkmaktadır. Araştırma konusunu oluşturan jipsler ise, araştırma alanı içerisinde, 1250 ve 2250 m arasında yükseltilerde yüzeylenir. Bununla birlikte

jipslerin çoğunluğu (%82.4) 1300 ve 1650 m arasında yer alırlar. Bu yükselti koşullarının dağılışı dolinlerin dağılışı üzerinde belirleyici olmuştur.

İklim karakterleri açısından araştırma alanı Köppen-Geiger iklim sınıflandırmasına göre "Dsb" harfleri ile gösterilen ve tipik karasal iklime karşılık gelen "kışları soğuk nemli, yazları ılık ve kurak orta enlem" iklim tipi

içerisinde yer alır (Öztürk vd., 2017b). Arařtırma alanında bulunan Sivas ve Zara Meteoroloji istasyonlarına göre yıllık ortalama sıcaklık 8.8°C, yıllık toplam yağış 464 mm'dir. Ortalama sıcaklıklara göre Aralık-Şubat döneminde sıcaklıklar 0°C'nin altında iken yaz

döneminde 20°C'nin üstüne çıkmaktadır. Mevsimsel olarak en fazla yağış ilkbahar ve kış mevsiminde görülür. En yüksek yağış Nisan ve Mayıs aylarında görülürken (ortalama 62 mm/ay), Ağustos ayında 6 mm'ye kadar düşmektedir.

3. MATERYAL ve YÖNTEM

Dolin yoğunluklarının belirlenmesinde ilk olarak alana ait 1/100.000 ölçekli jeoloji haritaları sayısallaştırılarak çalışma sahası içerisindeki jips alanları belirlenmiştir. Belirlenen jips alanlarının sınırları uydu görüntülerine göre kontrol edilerek düzeltilmiştir. Ardından jips alanı içerisinde kalan dolinler CBS ortamında iki farklı yöntemle sayısallaştırılmıştır. İlk yöntemde, klasik yöntem olarak nitelendirilen 1/25.000 ölçekli topoğrafya haritalarında gösterilen dolinler, ikinci yöntemde 1/3.000 ve 1/5.000 ölçekli uydu görüntüleri üzerinden tespit edilen dolinler CBS ortamında sayısallaştırılmıştır. 1/25.000 ölçekli haritalar üzerinden gerçekleştirilen klasik yöntemde dolin tabanlarına ait en üst kapalı kontur eğrisi CBS

ortamında poligon olarak sayısallaştırılmıştır (Day, 1983; Denizman, 2003; Öztürk, 2018). En üst kapalı kontur eğrilerine ait yükseklikler dolin yükseklikleri olarak kaydedilmiştir. Tespit edilen dolin alanlarından yoğunluk haritası üretmek için poligonların merkez X ve Y değerleri kullanılarak noktasal dağılım haritası oluşturulmuştur. İkinci yöntemde ise 1/3.000 ve 1/5.000 ölçekli uydu görüntülerinden dolin olabilecek alanlar nokta olarak işaretlenmiştir ve 12.5 metre çözünürlüklü ALOS yükselti verisi kullanılarak bu noktalara ait yükseklikler hesaplanmıştır. Her iki yöntemle elde edilen noktasal verilerden Kernel Yoğunluk Tahmin Haritaları (dolin/km²) üretilmiş ve bu yoğunluk dağılımları Pahernik (2012)'ye göre yorumlanmıştır (Tablo 1). Son olarak her iki veriden elde edilen yüksekliklere ait histogramlar oluşturularak dolinlerin yükseltiye göre dağılımları incelenmiştir.

Tablo 1: Dolin yoğunluk sınıflandırmaları (Pahernik, 2012)
Table 1: The classification of doline density (Pahernik, 2012)

<i>Dolin yoğunluğu (Dy - dolin/km²)</i>	<i>Tanım</i>
10'dan küçük (Dy < 10)	Çok düşük yoğunluk
10 ile 30 arası (10 < Dy < 30)	Düşük yoğunluk
30 ile 60 arası (30 < Dy < 60)	Orta yoğunluk
60 ile 100 arası (60 < Dy < 100)	Yüksek yoğunluk
100 ile 200 arası (60 < Dy < 100)	Çok yüksek yoğunluk
200'den büyük (Dy > 200)	Aşırı yüksek yoğunluk

4. BULGULAR

4.1. Yoğunluk Sınıflarının Frekansları

Çalışma kapsamında topoğrafya haritalarından toplam 10.651 dolin tespit edilirken, uydu görüntüleri üzerinden 42.127 dolin tespit edilmiştir. Kernel yöntemiyle hesaplanan yoğunluklara göre topoğrafya haritalarında maksimum yoğunluk 127 dolin/km² iken, uydu görüntülerinde 237 dolin/km²'dir. Yoğunluk haritalarına göre topoğrafya haritalarında jips

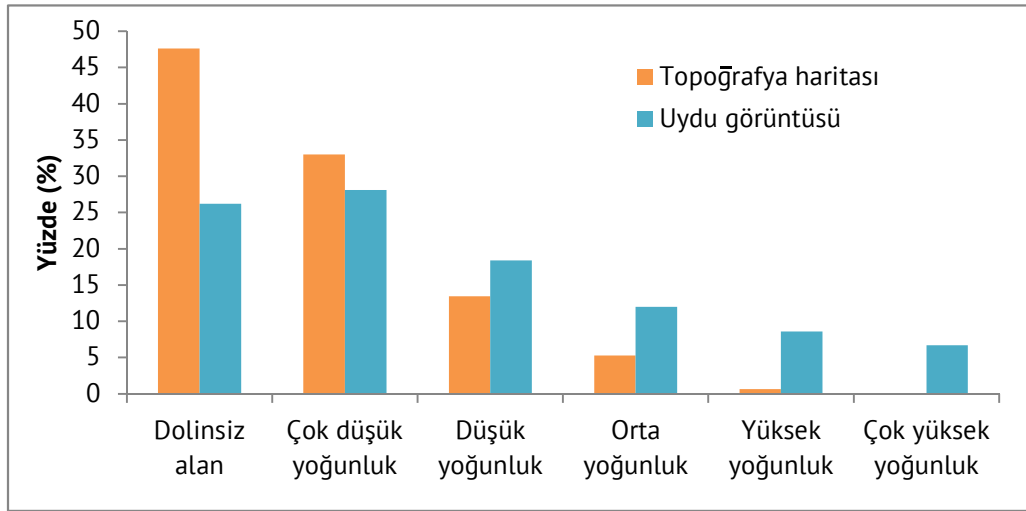
alanlarının yarısına yakınında (%47.6), uydu görüntüsünün %26.2'sinde dolin gelişimi görülmemektedir. İki harita arasında farkın bu kadar fazla olması topoğrafya haritaları ve uydu görüntülerinin ölçekleri ile ilgilidir. Çalışmada 1/3.000 ve 1/5.000 ölçekli yüksek çözünürlüklü uydu görüntüleri kullanıldığı için topoğrafya haritasına yansımayan küçük dolinler uydu görüntülerinde haritalanabilmiştir. Dolin yoğunluk sınıflarından (Tablo 2, Şekil 3) çok düşük ve düşük yoğunluklu alanlar topoğrafyada

%46.4'lük bir alan kaplarken, uyduda %46.5'lik bir alan kaplamaktadır. Bu deęerler aısından ok dūřuk ve dūřuk yoęunluklu alanlar her iki haritada aynı oranda alan kaplamaktadırlar. Uydu grntlerinde kuk boyutlu dolinlerin noktasal olarak haritalanabilmesi orta ve yksek yoęunluk grupları arasında da nemli alansal farklılıkların oluřmasına neden olmaktadır. Orta yoęunlukta alanlar topoęrafya haritalarında %5.3, uydu grntlerinde %12 alan kaplamaktadır.

Yksek ve ok yksek yoęunlukta alanlar topoęrafyada sadece %0.7'lik bir alan kaplarken uydu grntlerinde %15.3 gibi yksek bir deęere ulařır. Sonu olarak uydu grntlerinde kuk boyutlu dolinlerin noktasal olarak haritalanabilmesi yksek yoęunluklu alanların topoęrafya haritalarına gre daha geniř alansal orana ulařmasını saęlamıřtır. Dięer taraftan bu sonu, dolinlerin hi grlmedięi alanların daha az alandan oluřtuęunu ortaya koymuřtur.

Tablo 2: alıřma alanı ierisinde dolin yoęunluęu sınıflarının kapladıkları alanlar ve yzdeleri
Table 2: Areas and percentages of doline density classes in the study area

Tanım	Topoęrafya haritası		Uydu grnts	
	Alan (km ²)	Yzde	Alan (km ²)	Yzde
Dolinsiz alan	766	47.6	422	26.2
ok dūřuk yoęunluk	531	33.0	452	28.1
Dūřuk yoęunluk	216	13.4	296	18.4
Orta yoęunluk	85	5.3	193	12.0
Yksek yoęunluk	10	0.6	138	8.6
ok yksek yoęunluk	0.6	0.04	108	6.7



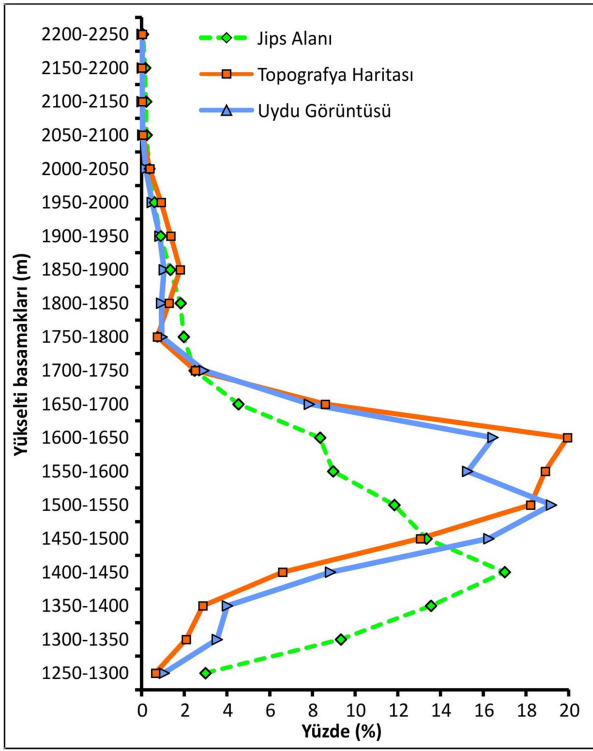
řekil 3. Topoęrafya ve uydu grntlerine gre alıřma alanındaki dolin yoęunluk sınıflarının oranları.

Figure 3. Percentages of doline density classes in the study area, according to topography maps and satellite images.

4.2. Yoęunluęun Ykseltiye Gre Daęılıřı

Dolinlerin ykseltiye gre daęılıřının jips alanları ile olan iliřkisini ortaya koymak amacıyla tm jips alanına ait ykselti basamakları da hesaplanmıřtır. Alandaki dolinler 1255 m'den bařlayarak 2335 m ykseklie kadar grlmektedir (řekil 4). 1350 m'nin zerinde hızla artmaya bařlayan dolinler

uydu grntlerinde 1500 ve 1550 m arasında (%19.2), topoęrafya haritalarında ise 1600 ve 1650 m arasında (%19.94) maksimum yoęunluęa ulařmaktadır. Her iki veride de 1700 m'den sonra yoęunluklar ok azalmaktadır ve topoęrafya haritalarında tespit edilen tm dolinlerin %90.2'si (9390 adet), uydu grntlerinde ise %91.4' (37.030 adet) 1300 ve 1700 m arasında bulunmaktadır.



Şekil 4: Topoğrafya haritaları ve uydu görüntülerinden tespit edilen dolinlerin ve jips alanının yükselti basamaklarına göre frekans dağılımları / **Figure 4:** Elevation frequencies of gypsum and dolines determined in topography maps and satellite images.

Dolin sayılarının yükseltiye göre dağılışı jips alanlarının yükselti basamaklarının dağılışı ile büyük oranda paralellik göstermektedir. Jips formasyonları maksimum yüzeyleme 1400 ve 1450 m arasında ulaşmaktadır ve jipsin %42'lik kesimi 1450 m'nin altında yer almaktadır. Ancak bu kesimde yoğun dolin gelişimi görülmektedir. Bu durumun temel nedeni alçak jips alanlarında yeraltı suyu taban seviyesinin yüksek olması (Drahor, 2019) ve genişleyen çatlak sisteminin etkisidir (Doğan ve Yeşilyurt, 2019). Yüksek yeraltı suyu taban seviyesi jips içerisindeki dikey su hareketini engelleyerek, karst taban seviyesinin yüzeye yakın olmasını sağlar. Yüksek karst taban seviyesi ise sığ karst koşullarının egemen olmasını sağlayarak dolin gelişimini sınırlandırmaktadır. Ancak jipsin yükselti seviyesi artıp plato karakteri kazandıkça üzerinde gelişen dolin sayısı da artmaktadır. Bu nedenle dolinler, yüksek platolarda yüksek yoğunluğa sahipken, alçak platolarda daha düşük yoğunluklara sahiptir (Doğan & Yeşilyurt, 2019).

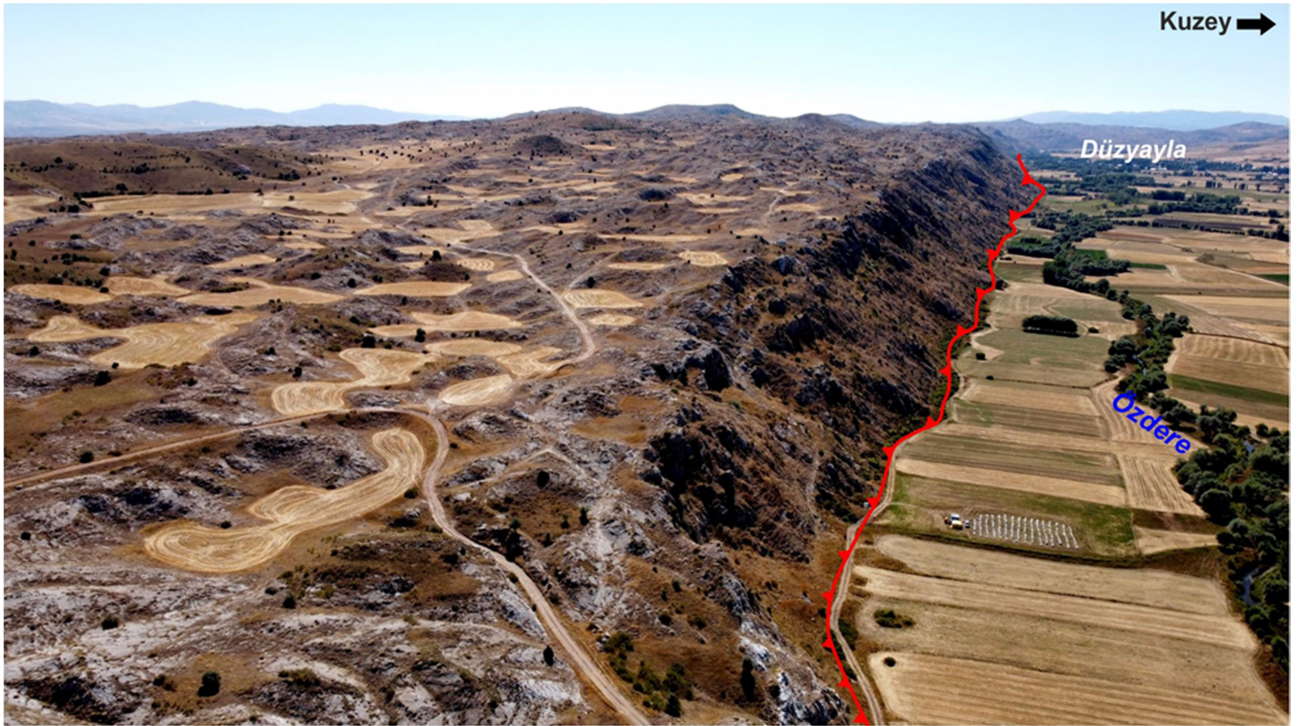
4.3. Yoğunluğun Alansal Dağılışı

Dolin oluşumu üzerinde etkili olan faktörler; çatlak ve fay sistemlerinin yoğunluğu, günümüz iklim koşulları ve geçmiş dönemlerdeki iklimsel değişimler, alanın hidrolojik özellikleri, antiklinal ve senklinal gibi kıvrımlı yapıların varlığı ve yerel taban seviyelerindeki farklılıklardır. Ayrıca hem jipsin çözünme hızının yüksek oluşu hem de jipsin litolojik koşullarının alansal olarak farklılık göstermesinden dolayı dolinlerin alansal dağılışı kısa mesafeler dahilinde farklılık göstermektedir (Çubuk & İnan, 1998; Doğan & Özel, 2005; Gutiérrez vd., 2008). Bu çalışmada elde edilen yoğunluk haritalarında da dolin yoğunlukları homojen bir dağılım göstermemektedir. Dolinlerin alansal dağılışı özelliklerini incelediğimizde; dolin yoğunluğunun en az olduğu alanlar, jipsin taban seviyesine yakın kesimlerine karşılık geldiği tesit edilmiştir (Drahor, 2019; Özel ve Darıcı, 2020). Her iki haritada da maksimum yoğunlukların jipsi kuzeyde sınırlayan ve Sivas Bindirmesi olarak adlandırılan (Passion vd., 1992) bindirme hattına paralel uzanan yüksek platoluk alanlar üzerinde gelişmiştir (Şekil 5, 6 ve 7). Maksimum yoğunlukların kuzey kesimdeki platolar üzerinde toplanmış olmasını sağlayan birkaç neden bulunmaktadır. Bunlardan birincisi karst taban düzeyinin derinliğine bağlı olarak gelişmiş yükselti farkıdır (Doğan & Özel, 2005; Doğan & Yeşilyurt, 2019). Kuzey kesimdeki maksimum dolin yoğunluğu alanları aynı zamanda Sivas-İmranlı arasındaki jipslerin en yüksek kesimine karşılık gelmektedir. Örneğin Zara'nın batısındaki maksimum yoğunluk alanı ile bu alanın kuzeyi ve güneyindeki vadi tabanları arasında 300 ve 340 m ulaşan yükselti farkı bulunur. Jipsin su tutma kapasitesinin çok düşük olmasından dolayı bu fark jips yüzeyine düşen yağmur sularının düşey olarak taban suyu seviyesine inmesi ve bu esnada hızlı çözünmeye bağlı olarak jips yüzeyinde dolinlerin gelişmesine olanak vermiştir. Hatta bu düşey hidrolojik iletim jips içerisinde yer yer çökme dolinlerinin gelişimini de sağlamıştır (Doğan & Özel, 2005). Kızılırmak Nehri'nde Kuvaterner döneminde gerçekleşmiş olan taban düzeyi değişimleri, karstik gençleşmeyi

saęlayarak alçak plato üzerinde çökme dolinlerinin oluşumu üzerinde önemli bir etki yaratmıştır (Doęan & Yeşilyurt, 2019).

Kuzey kesimde dolin yoğunluğunun fazla olmasını saęlayan dięer bir etken ise yapısal özelliklerdir. Faylar, bindirme hatları ve antiklinal kuşakları; dolin yoğunluęu üzerinde etkili olan en önemli unsurlardır. Bindirme zonlarının üst kesimlerinde ve antiklinal eksenleri boyunca oluşan yoğun çatlak sistemleri dolinlerin bu alanlarda yoğunlaşmasına neden olmaktadır. Benzer durumlar hem Toroslar'daki hem de dünyanın farklı kesimlerindeki poligonol karst

kuşaklarında da gözlenmiştir (Favre & Reiffsteck, 1999; Jennings, 1975; Klimchouk vd. 2006; Öztürk vd., 2018b). Toroslar'da özellikle Jura-Kretase kireçtařları içerisinde maksimum yoğunluklar bindirme faylarına baęlı olarak yükselmiş yoğun açılma çatlaklı karst platoları üzerinde gözlenir (Şimşek vd., 2019). Miyosen kireçtařlarında ise antiklinal eksenleri üzerinde oluşan yoğun çatlak sistemleri hem yoğunluęun fazla olmasına hem de dolinlerin bu çatlak sistemlerinin uzanışına paralel gelişmelerine neden olmuştur (Öztürk vd., 2017a).

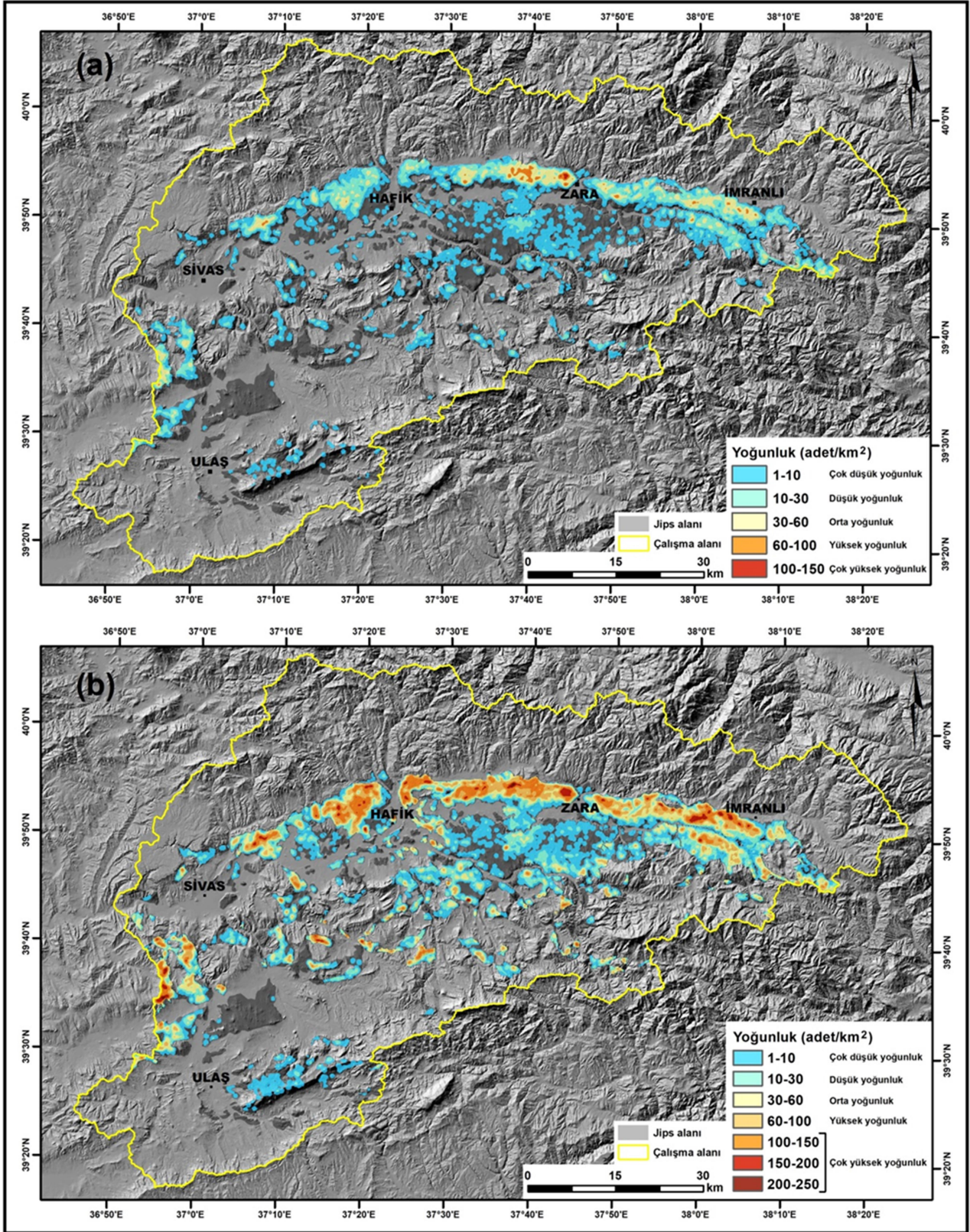


Şekil 5: Dolin yoğunluęunun kuzey sınırını oluřturan bindirme hattına ait İHA görüntüsü
Figure 5: UAV image showing thrust line which forms the northern boundary of the study area.

Çalıřma alanındaki yapısal unsurların genel daęılıř özelliklerine baktığımızda kuzeyden bir bindirme hattı ile sınırlandırılmış jips alanı içerisinde çok sayıda antiklinal ve senklinal ekseninin yer aldığı görülür (Şekil 7). Hem bindirme hattı hem de bu kıvrımlı yapılar jips yüzeyinde yoğun çatlak sistemlerinin gelişmesini saęlamış ve bu durum da dolin yoğunluęunu arttırmıştır. Legeay vd., (2018) tarafından oluřturulan jeoloji haritasında güney kesimde de kıvrım eksenleri haritalanmış (Şekil 7) olmakla birlikte, burada

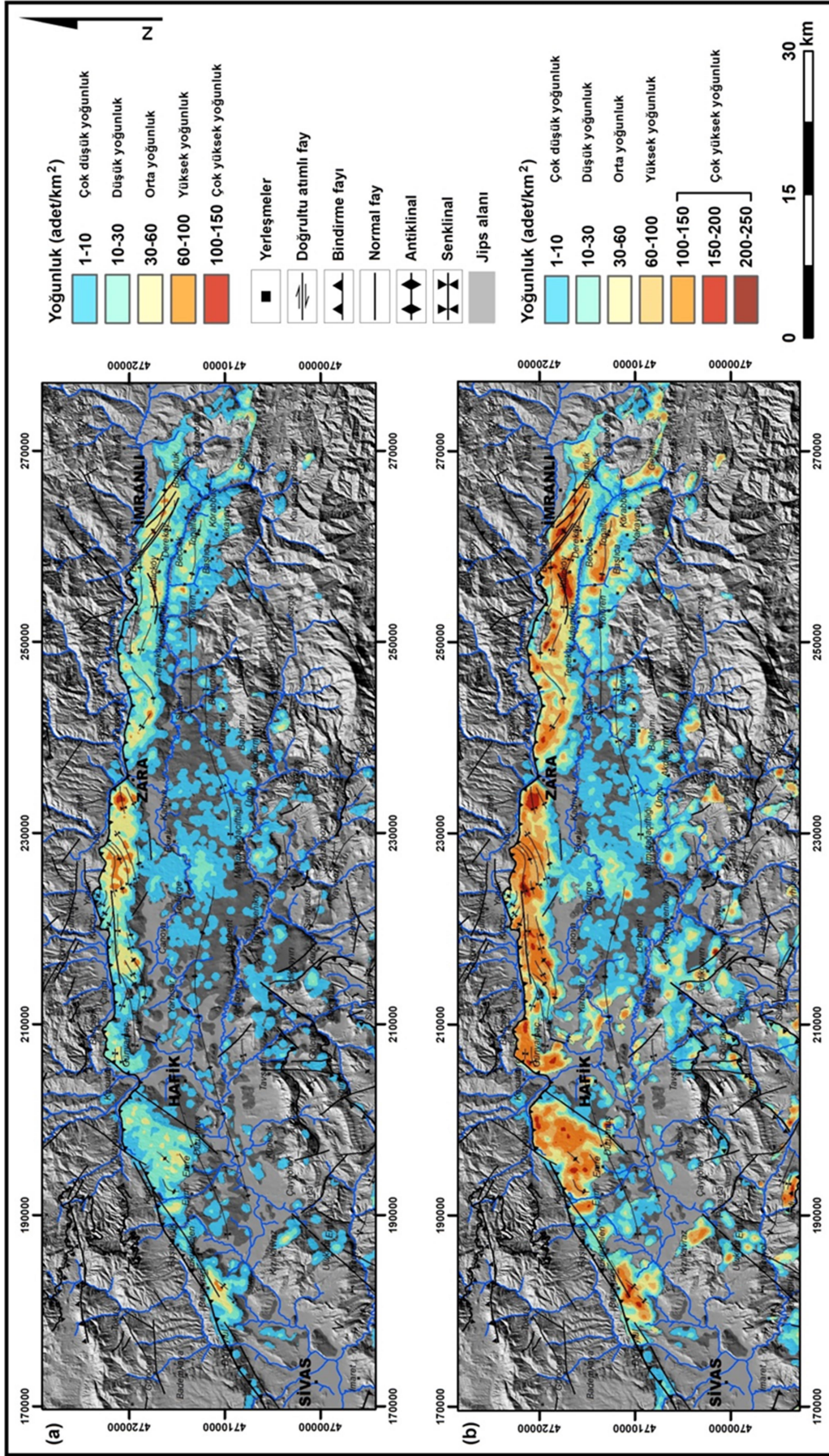
karst taban düzeyinin yüzeye yakın olmasından dolayı, dolin gelişimi sınırlı boyut ve alanda kalmıştır.

Yoęunluęun alansal daęılıřı üzerinde etkili olan bir dięer etken jips alanlarının güneye doğru gidildikçe hem kalınlığının azalması hem de kesintili şekilde bulunmasıdır. Jipsler kuzey kesimde Sivas-İmranlı arasında oldukça kalın kesintisiz bir kuşak oluřtururlar.



Şekil 6. Yukarı Kızılırmak havzasında dolin yoğunluklarının alansal dağılışı haritası: (a) topoğrafya haritasına göre, (b) uydu görüntüsüne göre.

Figure 6. Spatial distribution of doline density according to (a) topography maps and (b) satellite images in the Upper Kızılırmak Basin.



Şekil 7. Sivas-İmranlı arasındaki yapısal unsurlar ile dolin yoğunluğu dağılışı haritası: (a) topografya haritasına göre (b) uydü görüntüsüne göre (Yapısal unsurlar, Legeay vd, 2018'den alınmıştır).
Figure 7. Spatial distribution of structural units and doline densities between Sivas and İmranlı (Structural units rearranged from Legeay et al., 2018), (a) Doline densities in topography maps and (b) doline densities in satellite images.

Kuzeyden gneye doęru gidildike hem alanın tektonik yapısı hem de akarsu ařındırmasının bir sonucu olarak jips alanlarının kalınlıęı azalmakta ve dięer litolojik birimler ierisinde kk paralar halinde gzlenmektedir (merceksel karst). Bu paraların oluřmasını saęlayan tektonik kořullar, evaporitler ve tuzlar ierisinde gerekleřen diyapir

5. SONULAR

Bu alıřmada Trkiye'nin en nemli jips karstı alanı olan Yukarı Kızılırmak Havzası karst alanı ierisinde, temel olarak Sivas-İmranlı arasındaki, yaklaşık 1.609 km²'lik jips alanı üzerinde geliřmiř olan dolinler; topoęrafya haritaları ve uydu grntlerine gre CBS tabanlı incelenerek ařaęıdaki sonular elde edilmiřtir:

- Alanda, topoęrafya haritaları zerinden 10.651 dolin ve uydu grntleri zerinden ise 42.127 dolin tespit edilmiřtir.
- Topoęrafya haritalarında maksimum yoęunluk 127 dolin/km² iken uydu grntlerinde 237 dolin/km²'dir.
- Dolinlerin byk blmnn (% 90) 1300-1700 metreler arası yksekliklerde yer alır.

KATKI BELİRTME

Bu alıřma ilk yazarın doktora tez alıřmasındaki bulguların bir kısmını iermektedir.

Makalenin hazırlık srecindeki katkılarında dolaylı Dr. ęr. yesi Ltfi Nazik'e ve Do. Dr. Mehmet Furkan řener'e, arazi alıřmasına katkılarında dolaylı Dr. ęr. yesi Mesut řimřek ve Dr. Mustafa Utlu'ya, ayrıca metnin revize edilmesi ve olgunlařması srecinde emek veren hakemlere ve editr kuruluna ok teřekkr ederiz.

ykselimler ile bindirme kuřaklarında grlen klip yapılarının oluřturduęu tepelik alanlar ile iliřkilidir (Callot vd., 2014; ubuk & İnan, 1998; Doęan ve Yeřilyurt, 2004; Yılmaz & Yılmaz, 2006). Ayrıca jipsler ierisinde bulunan killi seviyeler geici karst taban dzeyi oluřturarak derine geliřmesine engel olmuřtur.

- Dolin yoęunlukları homojen bir daęılım gstermemektedir. Maksimum yoęunluklar jips sahasının kuzey kesiminde, bindirme hattına paralel olarak doęu-batı doęrultusunda kesintisiz bir kuřak boyunca uzanan yksek plato zerinde grlr.
- Kızılırmak Nehri'nin kuzeyindeki bu yksek platodaki antikalinal eksenlerinin yksek yoęunluktaki alanların daęılıřı zerinde olumlu etkisi bulunmaktadır.
- Kızılırmak Nehri'nin gneydeki alak platoda karst taban dzeyinin yzeyeye yakın olasından dolayı, sıę karstın karakteristięi olarak, dolin yoęunluęu dřk kalmıřtır.
- Kızılırmak Nehri'nin gney kesiminde dolin yoęunluęun dřk olmasının dięer bir nedeni ise hem tektonizmanın etkisi hem de akarsu ařındırmasının bir sonucu olarak bu kesimdeki jipslerin paralı bir daęılıř kazanmıř olmasıdır.

KAYNAKA

- Aktimur, H. T., Tekirli, M. E. ve Yurdakul, M. E. (1990). Sivas-Erzincan Tersiyer Havzasının Jeolojisi. MTA Dergisi, 111, 25–36.
- Alagz, C. A. (1967). Sivas evresi ve doęusunda jips karstı olayları. Ankara niversitesi Dil ve Tarih-Coęrafya Fakltesi Yayınları No 175.
- Blumenthal, M. M. (1938). řarkı Toros mıntıkasında Hekimhan-Kangal-Hasanelebi irtifasında jeolojik arařtırmalar. MTA raporu, no:570 (Yayınlanmamıř), Ankara
- Callot, J. P., Ribes, C., Kergaravat, C., Bonnel, C., Temiz, H., Poisson, A., Ringenbach, J. C. (2014). Salt tectonics in the Sivas basin (Turkey): Crossing salt walls and minibasins. Bulletin de La Societe Geologique de France, 185(1), 33–42. <https://doi.org/10.2113/gssgfbull.185.1.33>

- Car, J. (2001). Structural bases for shaping of dolines. *Acta Carsologica*, 30, 239–256.
- Çubuk, Y., ve İnan, S. (1998). İmranlı ve Hafik güneyinde (Sivas) Miyosen havzasının stratigrafik ve tektonik özellikleri. *M.T.A. Dergisi*, 120, 45–60.
- Cvijic, J. (1893). *Das Karstphanomen. Versuch einer morphologischen Monographie. Geographische Abhandlungen*, 5(3), 218–329.
- Darin, M. H., Umhoefer, P. J., ve Thomson, S. N. (2018). Rapid Late Eocene Exhumation of the Sivas Basin (Central Anatolia) Driven by Initial Arabia-Eurasia Collision. *Tectonics*, 37(10), 3805–3833.
- Day, M. (1983). Doline Morphology and Development in Barbados. *Annals of the Association of American Geographers*, 73(2), 206–219.
- Denizman, C. (2003). Morphometric and spatial distribution parameters of karstic depressions, lower Suwanee River basin, Florida. *Journal of Cave and Karst Studies*, 65(1), 29–35.
- Doğan, U. (2004). Dolin sınıflamasında yeni yaklaşımlar. *Gazi Üniversitesi Gazi Eğitim Fakültesi Dergisi*, 24(1), 249–269.
- Doğan, U., ve Özel, S. (2005). Gypsum karst and its evolution east of Hafik (Sivas, Turkey). *Geomorphology*, 71(3–4), 373–388. <https://doi.org/10.1016/J.GEOMORPH.2005.04.009>
- Doğan, U., ve Yeşilyurt, S. (2004). Gypsum karst south of Imranlı, Sivas, Turkey. *Cave and Karst Science*, 31(1), 7–14.
- Doğan, U., ve Yeşilyurt, S. (2019). Gypsum Karst Landscape in the Sivas Basin. In C. Kuzucuoğlu, A. Çiner, & N. Kazancı (Eds.), *Landscapes and Landforms of Turkey* (pp. 197–206). Springer, Cham.
- Drahor, M. G. (2019). Identification of gypsum karstification using an electrical resistivity tomography technique: The case-study of the Sivas gypsum karst area (Turkey). *Engineering Geology*, 252, 78–98.
- Ekmekçi, M. ve Nazik, L. (2004). Evolution of Golpazari-Huyuk karst system (Bilecik-Turkey): indications of morpho-tectonic controls. *International Journal of Speleology*, 33(1). <https://doi.org/http://dx.doi.org/10.5038/1827-806X.33.1.5>
- Eriñç, S. (2001). *Jeomorfoloji II. Der Yayınları*.
- Faivre, S. ve Reiffsteck, P. (1999). Spatial distribution of dolines as an indicator of recent deformations on the Velebit mountain range-Croatia. *Géomorphologie*, 5(2), 129–142. <https://doi.org/10.3406/morfo.1999.983>
- Ford, D. ve Williams, P. (2007). *Karst Hydrogeology and Geomorphology*. West Sussex, England: John Wiley & Sons Ltd.
- Gams, I. (2000). Doline morphogenetic processes from global and local viewpoints. *Acta Carsologica*, 29(2), 123–138.
- Günay, G. (2002). Gypsum karst, Sivas, Turkey. *Environmental Geology*, 42(4), 387–398. <https://doi.org/10.1007/s00254-002-0532-0>
- Gutiérrez, F., Guerrero, J. ve Lucha, P. (2008). A genetic classification of sinkholes illustrated from evaporite paleokarst exposures in Spain. *Environmental Geology*, 53(5), 993–1006.
- Jennings, J. N. (1975). Doline morphometry as a morphogenetic tool: New Zealand examples. *New Zealand Geographer*, 31(1), 6–28. <https://doi.org/10.1111/j.1745-7939.1975.tb00793.x>
- Kaçaroğlu, F., Değirmenci, M. ve Cerit, O. (1997). Karstification in Miocene gypsum: an example from Sivas, Turkey. *Environmental Geology*, 30(1–2), 88–97.
- Karacan, E., ve Yılmaz, I. (1997). Collapse dolines in miocene gypsum: an example from SW Sivas (Turkey). *Environmental Geology*, 29(3–4), 263–266.
- Keskin, İ. (2011). Jipslerde dolinlerin oluşum mekanizmaları açısından süreksizlik özelliklerinin etkilerinin araştırılması: KD Sivas örneği. *Cumhuriyet Üniversitesi Fen Bilimleri Enstitüsü, Yayınlanmamış Doktora Tezi, Sivas*.
- Keskin, İ. ve Yılmaz, I. (2016). Morphometric and geological features of karstic depressions in gypsum (Sivas, Turkey). *Environmental Earth Sciences*, 75(12), 1040.
- Klimchouk, A., Bayarı, S., Nazik, L., Törk, K., (2006). Glacial destruction of cave systems in high mountains, with a special reference to the Aladağlar massif, Central Taurus, Turkey. *Acta Carsologica*, 35/2.
- Koşun, E. ve Çiner, A. (2002). Zara Güneyi (Sivas Havzası) Karasal-Sığ Denizel Miyosen Çökellerinin Litostratigrafisi ve Fasiyes Özellikleri. *Maden Tetkik ve Arama Dergisi*, 125(125), 65–88.
- Kurtman, F. (1973). Sivas-Hafik-Zara ve İmranlı bölgesinin jeolojik ve tektonik yapısı. *Maden Tetkik ve Arama Dergisi*, 80, 1–33.
- Legeay, E., Pichat, A., Kergaravat, C., Ribes, C., Callot, J., Ringenbach, J. C. ve Temiz, H. (2018). Geology of the Central Sivas Basin (Turkey). *Journal of Maps*, 15(2), 406–417.
- Nazik, L. (1986). Beyşehir Gölü yakın güneyi karst jeomorfolojisi ve karstik parametrelerin

- incelenmesi. *Jeomorfoloji Dergisi*, 14, 65–77.
- Nazik, L., Poyraz, M. ve Karabıyıkıođlu, M. (2019). Karstic Landscapes and Landforms in Turkey. In C. Kuzucuođlu, A. Çiner, & N. Kazancı (Eds.), *Landscapes and Landforms of Turkey* (pp. 181–196). Springer, Cham.
- Özel, S., Darıcı, N. Environmental hazard analysis of a gypsum karst depression area with geophysical methods: a case study in Sivas (Turkey). *Environ Earth Sci* 79, 115 (2020).
- Öztürk, M. Z. (2018). Karstik kapalı depresyonların (dolinlerin) morfometrik analizleri. *Cođrafya Dergisi*, (36), 1-13.
- Öztürk, M. Z. (2020). Fluvio-karstic evolution of the Tařeli Plateau (Central Taurus, Turkey). *Turkish Journal of Earth Sciences*, 29(5), 733–746. <https://doi.org/10.3906/yer-1908-1>
- Öztürk, M. Z., řimřek, M., Utlı, M. ve řener, M. F. (2017a). Karstic depressions on Bolkar Mountain plateau, Central Taurus (Turkey): Distribution characteristics and tectonic effect on orientation. *Turkish Journal of Earth Sciences*, 26, 302–313.
- Öztürk, M. Z., Çetinkaya, G. ve Aydın, S. (2017b). Köppen-Geiger İklim Sınıflandırmasına Göre Türkiye'nin İklim Tipleri. *Journal of Geography*, 35, 17–27.
- Öztürk, M. Z., řener, M. F., řener, M. ve řimřek, M. (2018a). Structural controls on distribution of dolines on Mount Anamas (Taurus Mountains, Turkey). *Geomorphology*, 317, 107–116.
- Öztürk, M. Z., řimřek, M., řener, M. F. ve Utlı, M. (2018b). GIS based analysis of doline density on Taurus Mountains, Turkey. *Environmental Earth Sciences*, 77(536), 536.
- Öztürk, M. Z., řimřek, M. ve Utlı, M. (2015). Tahtalı Dađları (Orta Toroslar) karst platosu üzerinde dolin ve uvala gelişiminin CBS tabanlı analizi. *Türk Cođrafya Dergisi*, 65, 59–68.
- Poisson, A.M., Temiz, H. ve Gürsoy, H., (1992). Pliocene thrust tectonics in the Sivas Basin near Hafik (Turkey): Southward fore thrusts and associate back thrusts. *Cumhuriyet Üniversitesi Mühendislik Fakültesi Dergisi, Seri A, Yerbilimleri*, 9, 19-26
- Pahernik, M. (2012). Spatial density of dolines in the Croatian Territory. *Croatian Geographical Bulletin*, 74(2), 5–26.
- Ribes, C., Kergaravat, C., Crumeyrolle, P., Lopez, M., Bonnel, C., Poisson, A., Ringenbach, J. C. (2017). Factors controlling stratal pattern and facies distribution of fluvio-lacustrine sedimentation in the Sivas mini-basins, Oligocene (Turkey). *Basin Research*, 29, 596–621.
- Sauro, U. (2003). Dolines and Sinkholes: Aspects of Evolution and Problems of Classification. *Acta Carsologica*, 32(2), 41–52.
- řener, M. F. ve Öztürk, M. Z. (2019). Relict drainage effects on distribution and morphometry of karst depressions: a case study from Central Taurus (Turkey). *Journal of Cave and Karst Studies*, 81(1), 33–43.
- řimřek, M., Öztürk, M. Z. ve Turođlu, H. (2019). Geyik Dađı üzerindeki dolin ve uvalaların morfotektonik önemi. *Türk Cođrafya Dergisi*, (72), 13–20.
- řimřek, M., Utlı, M. ve Öztürk, M. Z. (2020). Gidengelmaz Dađları'nın Yüzey Karstı Özellikleri (Orta Toroslar). In S. Birinci, Ç. K. Kaymaz, & Y. Kızılkın (Eds.), *Cođrafi Perspektifle Dađ ve Dađlık Alanlar (Sürdürülebilirlik-Yönetim-Örnek Alan İncelemeleri)* (pp. 1–18). Kriter Yayınevi.
- Telbisz, T., Dragušica, D. ve Nagy, B. (2009). Doline morphometric analysis and karst morphology of Biokovo Mt (Croatia) based on field observations and digital terrain analysis. *Hrvatski Geografski Glasnik*, 71(2), 5–22.
- Temiz, H. (1994). Sivas Tersiyer Havzası'nın Kemah (Erzincan) ve Hafik (Sivas) yörelerindeki tektonostratigrafisi ve tektonik deformasyon biçimi. *Cumhuriyet Üniversitesi, Fen Bilimleri Enstitüsü, Basılmamış Doktora Tezi*, Sivas.
- Temiz, H. (1996). Tectonostratigraphy and Thrust Tectonics of the Central and Eastern Parts of the Sivas Tertiary Basin, Turkey. *International Geology Review*, 38(10), 957–971.
- Waltham, T. (2002). Gypsum karst near Sivas, Turkey. *Cave and Karst Science*, 29(1), 39–44.
- Williams, P. (2004). Doline. In J. Gunn (Ed.), *Encyclopedia of Cave and Karst Science* (pp. 304–310).
- Yılmaz, A. ve Yılmaz, H. (2006). Characteristic features and structural evolution of a post collisional basin: The Sivas Basin, Central Anatolia, Turkey. *Journal of Asian Earth Sciences*, 27(2), 164–176. <https://doi.org/10.1016/J.JSEAES.2005.02.006>
- Yılmaz, İ. (2007). GIS based susceptibility mapping of karst depression in gypsum: A case study from Sivas basin (Turkey). *Engineering Geology*, 90(1–2), 89–103.
- Yılmaz, İ., Marschalko, M. ve Bednarik, M. (2011). Gypsum collapse hazards and importance of hazard mapping. *Carbonates Evaporites*, 26, 193–209. <https://doi.org/10.1007/s13146-011-0055-4>